

広島大学工学部 正員 工修 名倉宏之

五洋建設 桐原生司

広島大学大学院 学生員 植 審税

水門底面形状、流出量特性に及ぼす影響を調べるために、さきに図-1に示すように傾斜底水門の縮流係数について理論的考察を行なった。その結果縮流係数は水門の厚さから程度以上になると底面傾斜角と同じ傾斜角を持つ傾斜水門、値に近づくことが考えてよいかわかった。このことは流出量特性が縮流係数によつて大きく支配されることから理論的にも流量係数についても同様のことであるが、本研究ではこれで種々の模型を用いて実験的に検討したのでその結果を若干、簡単に述べて報告するものである。

1. 傾斜底水門の流量係数

傾斜底水門の流量係数 C は一般の場合と同様に

$$C = Q / B \cdot a \cdot \sqrt{2g h_1} \quad (1)$$

とあらわされる。ここで Q : 流出量 a : ゲート開度 B : 水路幅 h_1 : 上流水深である。 C の定義によれば $C = \frac{Q}{B \cdot a \cdot \sqrt{2g h_1}}$ である。 μ は $Frage$ ²⁾ と $Henry$ ³⁾ 用いた仮定を用いて近似的に $\mu = h_1$ とする場合にあらわされる。

$$C = \frac{\mu}{\sqrt{1 - (\mu a/h_1)^2}} \sqrt{1 - h_2/h_1} \quad (2)$$

ただし、自由流出の場合には

$$h_2 = \mu a \quad (3)$$

となり、もぐり流出の場合には

$$h_2 = a \times \frac{K^2 \pm \sqrt{K^4 + 4A(A(\mu a)^2 - (\mu a)K^2)}}{2A} \quad (4)$$

となる。 $K = 1/\sqrt{1 - (\mu a/h_1)^2}$, $A = 1/4\mu(1 - \mu a/h_1)$ である。以下の考察においては流量係数の実験値は式(1)を、理論値は式(2)を用いて計算せられた値である。

2. 実験装置および方法

実験水槽 40cm、深さ 60cm、幅 10cm のアクリル製水平直線水路を用い、ゲート開度 a を 6.0cm 固定しておこなう。水深測定は水門上流側はボイントゲージを用いておこなう。もぐり流出時、下流水深と水面振動が激しく場合、水路表面の圧力を測定して求めた。実験に用いた傾斜底水門はアクリル板であり、底面傾斜角 δ が 30° , 45° および 60° の 3 種類で、またその底面傾斜角に対する d/a が 1.0, 2.0, 3.0 および 4.0 の 5 種類のものを用いた。また δ が 30° で、 $d/a = 7.0$ の場合に上流側鉛直板と底面傾斜板との交点に半径が 1.73cm の丸みをもつたものを用いた。また傾斜水門実験時に用いた水路はおおむね $1/8$ の 5mm のステンレス板を用いて作成したものである。

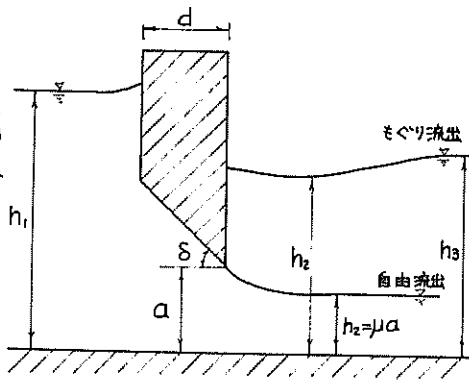


図-1 傾斜底水門流出図

3. 実験結果とその考察

1) 自由流出時、流量係数

図-2, 図-3, および図-4 はそれぞれ底面傾斜角 $\delta = 30^\circ, 45^\circ$ および 60° の場合、自由流出時、流量係数を示したものであるが、これらの図から明らかなように $\delta = 30^\circ$ で $d/a = 1.0$ の場合を除くと、底面傾斜角が同じ傾斜底水門の流量係数は d/a の大小にかかわらず、ほぼ同一の値となり、その値は傾斜底水門の流量係数の実験値とはほとんど同じである。

$\delta = 30^\circ$ で $d/a = 1.0$ の場合を除き $\delta = 30^\circ$ の場合に他の実験値にくらべてかなり大きな値を示しているが、これは底面接觸水門の場合と異なり上流側斜直板と底面傾斜板との交点において流れがはくりし、底面における大きなはくり領域が形成されし縮流効果を減じさせられたものと考えられる。こうよるは水門底面上において大きなはくり領域が存在する場合には流量特性がかなり変化するが、その影響は小となる場合には傾斜底水門、自由流出時、流量係数は同じ底面傾斜角をもつ傾斜底水門の値とほぼ同じであると言えようことがわかる。なおこれら3つの図中の実験は縮流係数の理論値を用いて式(2)より計算された流量係数であり水門の厚さにはほとんど影響されないことはあがたが、実験値とは大きな差がある。これは式(2)が近似式でありその仮定に問題があるほかに、自由流出時の縮流係数には重力が大きく影響するが、理論値はこの点が考慮されていないためと考えられる。

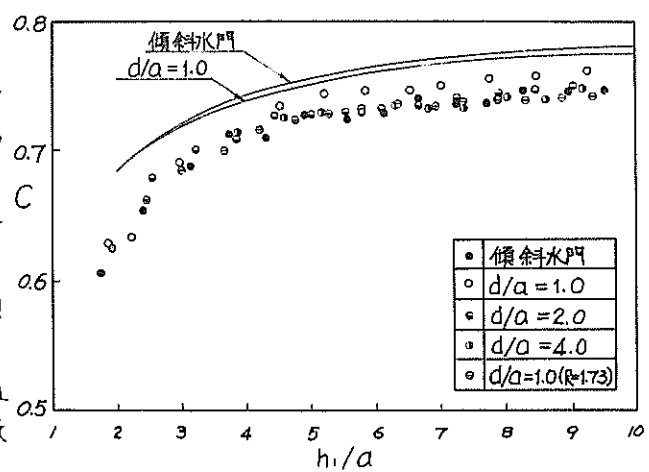


図-2 流量係数 (自由流出 $\delta = 30^\circ$)

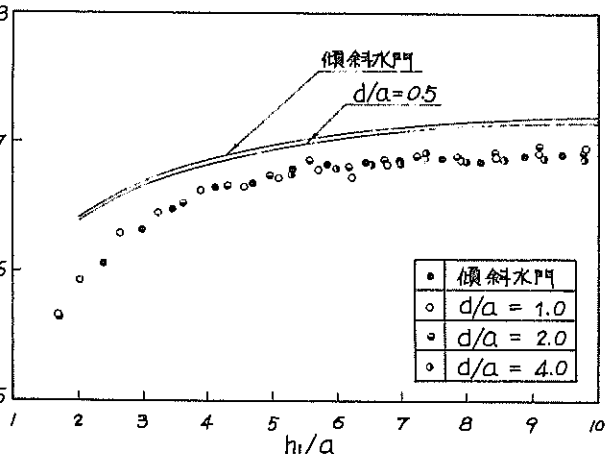


図-3 流量係数 (自由流出 $\delta = 45^\circ$)

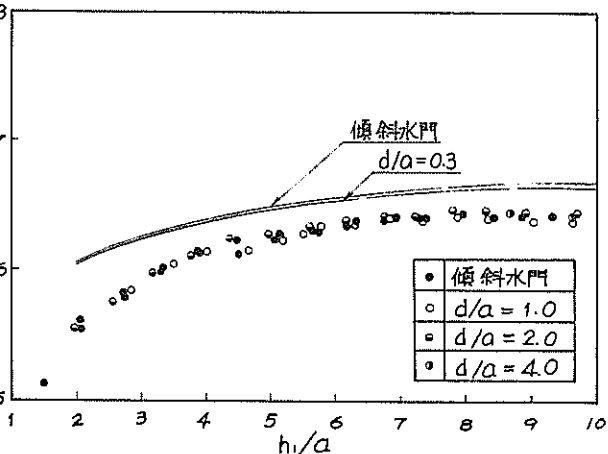


図-4 流量係数 (自由流出 $\delta = 60^\circ$)

2) もぐり流出時の流量係数

図-5, 図-6 および図-7 はそれぞれ底面傾斜角が 30° , 45° および 60° の場合、もぐり流出時、流量係数、実験値と理論値を比較したものである。理論値は式(2)より求めた場合に仮想的な縮流俈数として示す。値をどうかといふのが問題になるが、自由流出時、流量俈数が水門の厚さによって関係しているからである。本研究ではもぐり流出時、流量俈数を式(2)、式(3)および式(4)で用いて求めた場合には自由流線理論によつて得られる縮流俈数の値を用いたところ自由流出時にくらべてかなり妥当と考ええたことがある。これは傾斜水門と同じ底面傾斜角で 60° 倾斜水門の縮流俈数を用いたためである。これら3つの図からもぐり流出 d/a を変化させて求めた実験結果は傾斜底水門、厚さ a のもぐり流出流量俈数の差はほとんど認められぬ。また、これと底面傾斜角の場合は実験値と理論値より少し実験値の方が傾向が認められる。減少の程度を調べる一つの目安として理論値に対する実験値の割合。平均値を求めると、底面傾斜角が 30° , 45° および 60° の場合にそれぞれ平均 0.959 , 0.958 および 0.970 である。こゝに示した実験値と理論値にくらべて減少する原因としては、種々考えられるが、式(2)は太くて考慮されていない水門直下流の縮流断面に至るまでの領域において渦が発生したことなど工業上一般的な要素と考えられる。図-8 は上に求めた平均値を傾斜水門の場合と比較したものである。こゝの図では自由流出時、場合と同様にもぐり流出時の場合と傾斜水門の流量俈数とは同じになると見てよいであろう。

以上、底面傾斜角が 30° 以上の場合につれて考察したが、それ以下の場合は概要略述する。

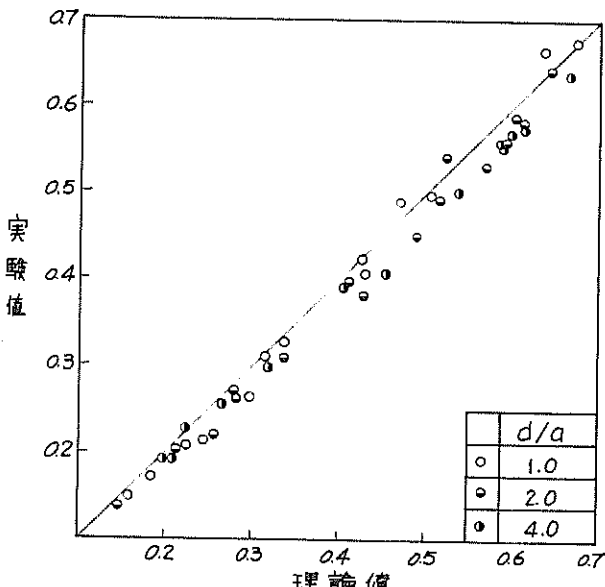


図-5 流量俈数(もぐり流出 $\delta=30^\circ$)

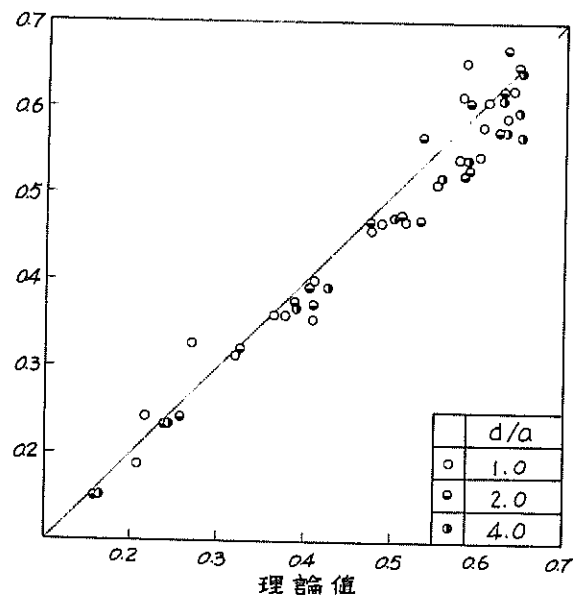


図-6 流量俈数(もぐり流出 $\delta=45^\circ$)

最後にこうした研究をすすめられたあたりつねに御指導を賜わ、てく吉佐義朝教授、濱野道明君を始め、左金九郎治教授、実験資料整理に御助力下さい、左凌辺英正君、濱野道明君へ深く感謝します。

参考文献

- 1)名古屋元、桐原圭司：傾斜底水門、流山構造（水門底にせんく離槽壁をもつたる場合）、土木学会中、四部会講演会講演摘要、昭和45年7月
- 2)Fager, C.: Engineering Fluid Mechanics, Blackie Son, 1961
- 3)Henry, H.R.: Diffusion of Submerged Jets. Proc. ASCE, Sept. 1949
- 4)Iwasaki, Y. and H. Nagai: Hydraulic Performances of a Vertical Gate to Effluves, Memoirs of the Faculty of Engineering, Kyoto Univ. M. Sc. Part 2, Apr. 1968

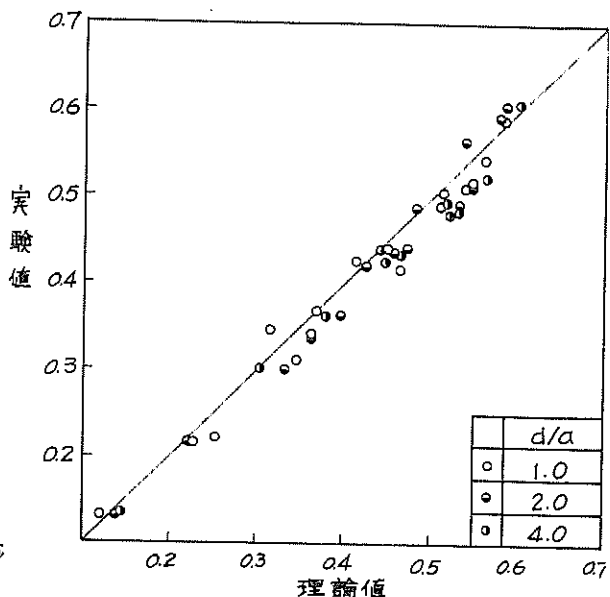


図-7 流量係数(もぐり流出 $\delta=60^\circ$)

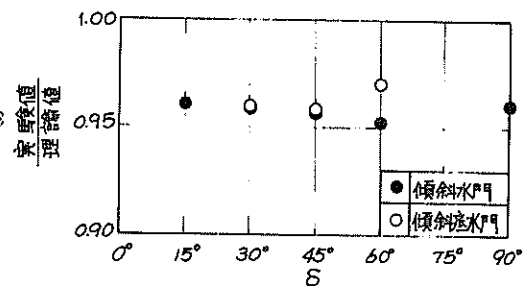


図-8 流量係数(実験値/理論値)